

**Всероссийский (третий) этап Всероссийской олимпиады  
студентов по теоретической механике**

**Казань, Казанский государственный  
энергетический университет  
5-9 декабря 2016 г.**

**Решения задач теоретического конкурса**

Автор задач:  
доцент кафедры ТМ и СМ КНИТУ Муштари Айрат Ильдарович

Рецензент:  
доцент кафедры АГД К(П)ФУ Марданов Ренат Фаритович

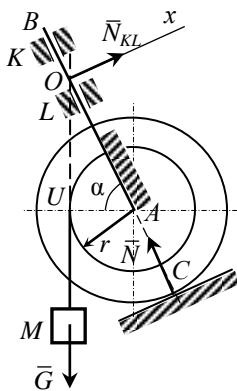


Рис. 1

**Решение задачи С1.**

1). Линии действия силы тяжести груза  $\bar{G}$  и реакции опоры  $\bar{N}$  в точке  $C$  пересекаются в точке  $O$  стержня (рис. 1). Эти силы уравновешиваются приложенной в этой точке равнодействующей силы реакций направляющих  $K$  и  $L$  стержня  $\bar{N}_{KL}$ . Уравнение равновесия для проекций на ось  $x$ , перпендикулярную  $AB$ :

$$\sum_k F_{kx} = -G \cos \alpha + N_{KL} = 0.$$

$$N_{KL} = mg \cos \alpha.$$

Из треугольника  $AOU$  расстояние от точки  $A$  до линии действия  $\bar{N}_{KL}$  равно:

$$d = \frac{r}{\cos \alpha}.$$

2). Рассмотрим равновесие системы, образованной колесом 1, стержнем и точкой  $M$  (рис. 2). Обозначим через  $\bar{S}$  силу натяжения нити в точке  $D$ . Проецируя на ось  $y$ , получим:

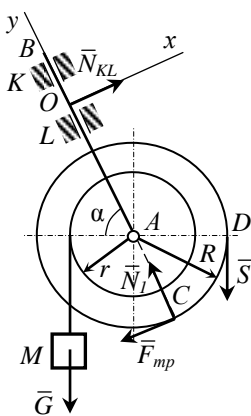


Рис. 2

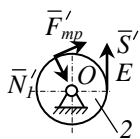


Рис. 3

$$\sum_k F_{ky} = N - S \sin \alpha - P \sin \alpha = 0. \quad (1)$$

С учетом того, что реакции шарнира дают нулевые моменты относительно  $A$ , записем для колеса 1:

$$\sum_k M_A (\bar{F}_k) = Gr - SR - F_{mp}R = 0. \quad (2)$$

Аналогично для колеса 2 (рис. 3):

$$\sum_k M_O (\bar{F}_k) = -F_{mp}r_2 + Sr_2 = 0. \quad (3)$$

Из (3):

$$S = F_{mp}. \quad (4)$$

Из (2), (4):

$$2F_{mp}R = Gr.$$

$$F_{mp} = \frac{r}{2R}G. \quad (5)$$

Выразим  $G$  из (1), с учетом (4):

$$G \sin \alpha = N - F_{mp} \sin \alpha.$$

$$G = \frac{N}{\sin \alpha} - F_{mp}.$$

Подставим в (5) и затем учтем закон Кулона:

$$F_{mp} = \frac{r}{2R} \left( \frac{N}{\sin \alpha} - F_{mp} \right).$$

$$\left( 1 + \frac{r}{2R} \right) F_{mp} = \frac{r}{2R \sin \alpha} N.$$

$$F_{mp} = \frac{r}{2R \sin \alpha} \cdot \frac{2R}{2R+r} N \leq fN.$$

$$f \geq \frac{r}{(2R+r) \sin \alpha}.$$

*Замечание.* Из условия  $\sum_k M_A (\bar{F}_k) = 0$ , записанного для стержня,

следует  $N_{KL} \cdot OA = 0$ . Так как  $N_{KL} \neq 0$  (очевидно при проецировании

всех сил системы на горизонтальную ось), то здесь  $OA = 0$ . На вывод решения это не влияет.

$$\text{Ответ. 1). } N_{KL} = mg \cos \alpha, \quad d = \frac{r}{\cos \alpha}. \quad 2). \quad f \geq \frac{r}{(2R+r)\sin \alpha}.$$

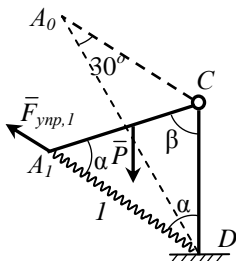


Рис. 4

### Решение задачи С2.

Обозначим индексами «0» и «1» положения концов стержней при недеформированных пружинах и при равновесии, соответственно (рис. 4). Запишем уравнение равновесия стержня  $AC$ , обозначив через  $\alpha, \beta$  углы между  $AC$  и пружиной  $I$  и между  $AC$  и  $CD$ , соответственно:

$$\sum_k M_C (\bar{F}_k) = -F_{ymp,1} \sin \alpha \cdot l + P \sin \beta \cdot \frac{l}{2} + M_C (\bar{F}_{ymp,3}) = 0. \quad (1)$$

Для сохранения положения равновесия независимо от коэффициента жесткости пружины  $3$  должно выполняться условие:

$$M_C (\bar{F}_{ymp,3}) = 0. \quad (2)$$

Из (1) с учетом (2) и  $\sin \beta = \sin (180^\circ - 2\alpha) = \sin 2\alpha = 2 \sin \alpha \cos \alpha$ :

$$F_{ymp,1} \sin \alpha = \frac{1}{2} P \cdot 2 \sin \alpha \cos \alpha.$$

$$F_{ymp,1} = P \cos \alpha. \quad (3)$$

Здесь

$$F_{ymp,1} = c_1 \Delta l_1 = c_1 (A_0 D - A_1 D) =$$

$$= c_1 \cdot (2l \cos 30^\circ - 2l \cos \alpha) = \frac{1}{\sqrt{6}-2} \cdot \frac{P}{l} (\sqrt{3}l - 2l \cos \alpha).$$

Из (3) после арифметических преобразований получим:

$$\frac{1}{\sqrt{6}-2} P (\sqrt{3} - 2 \cos \alpha) = P \cos \alpha.$$

$$(2 + \sqrt{6} - 2) \cos \alpha = P\sqrt{3}.$$

$$\cos \alpha = \frac{1}{\sqrt{2}}.$$

$$\alpha = 45^\circ, \beta = 90^\circ. \quad (4)$$

Условие (2) может реализоваться в двух случаях. В 1-м случае  $F_{ynp,3} = 0$ . Во 2-м случае линия действия  $\bar{F}_{ynp,3}$  проходит через точку  $C$ .

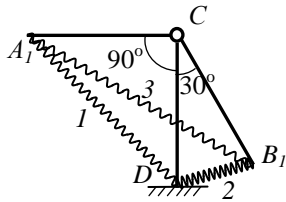


Рис. 5

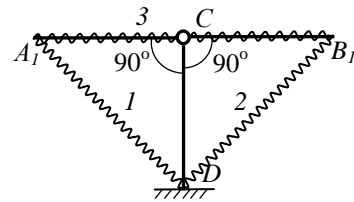


Рис. 6

В 1-м случае пружина 3 недеформирована, т.е. угол между стержнями  $AC$  и  $BC$  равен  $120^\circ$ . При этом возможны два положения пружины 2.

При одном из них отрезок  $BC$  получается поворотом  $AC$  на  $120^\circ$  вокруг  $C$  против часовой стрелки (рис. 5). Обозначим  $c_2 = k_2 \frac{P}{l}$ . Записывая уравнение равновесия  $BC$  по аналогии с (1), получим аналог (3):

$$F_{ynp,2} = P \cos \alpha_2, \quad (5)$$

где

$$\begin{aligned} F_{ynp,2} &= c_2 \Delta l_2 = c_2 (B_0 D - B_1 D) = \\ &= c_2 \cdot (2l \cos 30^\circ - 2l \cos \alpha_2) = k_2 \frac{P}{l} (\sqrt{3}l - 2l \cos \alpha_2). \\ \alpha_2 &= \frac{180^\circ - 30^\circ}{2} = 75^\circ. \end{aligned}$$

$$\cos 75^\circ = \sqrt{\frac{1+\cos 150^\circ}{2}} = \sqrt{\frac{1-\frac{\sqrt{3}}{2}}{2}} = \frac{\sqrt{2-\sqrt{3}}}{2}.$$

Тогда из (5):

$$k_2(\sqrt{3}-2\cos 75^\circ) = \cos 75^\circ.$$

$$k_2 = \frac{\cos 75^\circ}{\sqrt{3}-2\cos 75^\circ} = \frac{\sqrt{2-\sqrt{3}}}{2(\sqrt{3}-\sqrt{2-\sqrt{3}})}.$$

$$c_2 = \frac{\sqrt{2-\sqrt{3}}}{2(\sqrt{3}-\sqrt{2-\sqrt{3}})} \cdot \frac{P}{l}.$$

Другое возможное положение  $BC$ , при котором отрезок  $BC$  получается поворотом  $AC$  на  $120^\circ$  вокруг  $C$  по часовой стрелке, не является равновесным, так как несложно заметить: при этом пружина  $BC$  растянута, в записи  $\sum_k M_C(\bar{F}_k)$  получим  $M_C(\bar{F}_{y_{up},2}) < 0$ ,  $M_C(\bar{P}) < 0$ , откуда  $\sum_k M_C(\bar{F}_k) < 0$ .

Во 2-м случае, когда линия действия  $\bar{F}_{y_{up},3}$  проходит через точку  $C$ , получаем, что  $AC$  и  $BC$  лежат на одной прямой, угол между ними  $180^\circ$ , т.е. угол между  $BC$  и  $CD$  также равен  $90^\circ$  (рис. 6). В силу симметрии сразу получаем при этом для равновесия:

$$c_2 = c_1 = \frac{1}{\sqrt{6}-2} \cdot \frac{P}{l}.$$

$$\text{Ответ. } c_2 = \frac{\sqrt{2-\sqrt{3}}}{2(\sqrt{3}-\sqrt{2-\sqrt{3}})} \cdot \frac{P}{l} \text{ или } c_2 = \frac{1}{\sqrt{6}-2} \cdot \frac{P}{l}.$$

### **Решение задачи K1.**

1). Построим мгновенные центры скоростей  $P_1$  и  $P_2$  для  $AB$  и  $BC$ , соответственно (рис. 7). Так как  $AP_1 = BP_1$ , то  $v_B = v_A = v$ . Так как

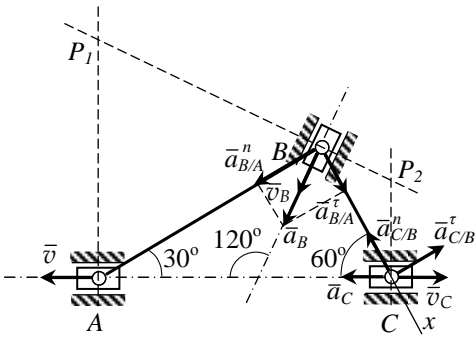


Рис. 7

$BP_2 = CP_2$ , то

$$v_C = v_B = v.$$

При этом

$$\omega_{AB} = \frac{v_A}{AP_1} = \frac{v}{l}. \quad (1)$$

$$\text{С учетом } BC = \frac{l}{\sqrt{3}},$$

$$BP_2 = \frac{BC}{\sqrt{3}} = \frac{l}{3}:$$

$$\omega_{BC} = \frac{v_B}{BP_2} = \frac{3v}{l}. \quad (2)$$

При плоскопараллельном движении  $AB$  с учетом  $v = \text{const}$ :

$$\bar{a}_B = \bar{a}_A + \bar{a}_{B/A}^\tau + \bar{a}_{B/A}^n = \bar{a}_{B/A}^\tau + \bar{a}_{B/A}^n.$$

Из соответствующего прямоугольного треугольника:

$$\operatorname{tg} 60^\circ = \frac{\bar{a}_{B/A}^n}{\bar{a}_{B/A}^\tau}.$$

$$a_{B/A}^n = AB \cdot \omega_{AB}^2 = \frac{v^2}{l}.$$

$$a_{B/A}^\tau = \frac{a_{B/A}^n}{\sqrt{3}} = \frac{\sqrt{3}v^2}{3l}.$$

При плоскопараллельном движении  $BC$ :

$$\bar{a}_C = \bar{a}_B + \bar{a}_{C/B}^\tau + \bar{a}_{C/B}^n = \bar{a}_{B/A}^\tau + \bar{a}_{B/A}^n + \bar{a}_{C/B}^\tau + \bar{a}_{C/B}^n. \quad (3)$$

$$a_{C/B}^n = BC \cdot \omega_{BC}^2 = \frac{l}{\sqrt{3}} \cdot \frac{9v^2}{l^2} = \frac{3\sqrt{3}v^2}{l}.$$

Проектируем на ось  $x$  (перпендикулярно  $\bar{a}_{C/B}^\tau$ ):

$$-a_C \cos 60^\circ = a_{B/A}^\tau - a_{C/B}^n.$$

$$a_C = 2 \left( \frac{3\sqrt{3}v^2}{l} - \frac{\sqrt{3}v^2}{3l} \right) = \frac{16\sqrt{3}v^2}{3l}.$$

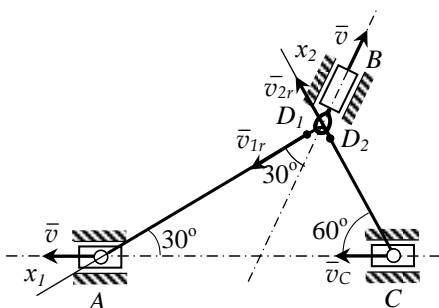


Рис. 8

носительным – движение  $D_1$  или  $D_2$  относительно ушка со скоростью  $\bar{v}_{1r}$  или  $\bar{v}_{2r}$ , соответственно. Так как нить нерастяжима, то  $v_{1r} = v_{2r} = v_r$ .

По теореме о сложении скоростей при сложном движении:

$$\bar{v}_{D_1} = \bar{v}_B + \bar{v}_{1r}.$$

Участок нити  $AD_1$  в данный момент совершает плоскопараллельное движение. По теореме о проекциях скоростей для  $AD_1$  при проектировании на ось  $x_1$ :

$$v_A \cos 30^\circ = v_r - v_B \cos 30^\circ.$$

$$2v \cos 30^\circ = v_r.$$

$$v_r = \sqrt{3}v. \quad (4)$$

Аналогично для точки  $D_2$  и участка нити  $D_2C$  получим:

$$\bar{v}_{D_2} = \bar{v}_B + \bar{v}_{2r}.$$

$$v_r + v_B \cos 60^\circ = v_C \cos 60^\circ.$$

Учтем здесь (4):

$$\sqrt{3}v + \frac{v}{2} = \frac{v_C}{2}.$$

$$v_C = (2\sqrt{3} + 1)v.$$

2). 1 способ (геометрический). Обозначим через  $D_1$  и  $D_2$  точки нити, предельно близкие к ушку, находящиеся по разные стороны от него (рис.8). Движение каждой из них можно рассмотреть как сложное, при котором переносным является движение ушка со скоростью  $\bar{v}_B$ ,  $v_B = v$ , а от-

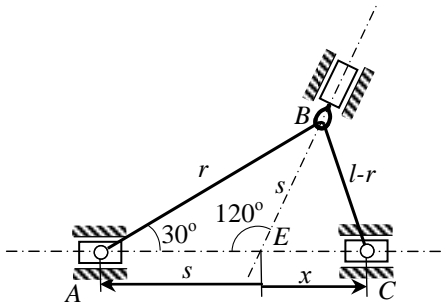


Рис. 9

*2 способ (аналитический).* Рассмотрим положение системы в произвольный момент времени, предполагая, что все время  $v_A = v_B = v$  и треугольник  $ABE$  остается равнобедренным (рис.9). Обозначим  $AE = BE = s$ ,  $AB = r$ . Тогда  $BC = l - r$ , где  $l$  – длина всей нити.

$$r = 2s \cdot \cos 30^\circ = \sqrt{3} s.$$

$$\dot{r} = \sqrt{3} \dot{s} = \sqrt{3} v. \quad (5)$$

По теореме косинусов:

$$BC^2 = BD^2 + CD^2 - 2BD \cdot CD \cdot \cos 60^\circ,$$

$$(l - r)^2 = s^2 + x^2 - 2sx \cdot \frac{1}{2}.$$

$$(l - r) \cdot (-2\dot{r}) = 2s\dot{s} + 2x\dot{x} - \dot{s}x - s\dot{x}. \quad (6)$$

В рассматриваемый момент времени треугольник  $BEC$  по условию является равносторонним. При этом  $l - r = s = x$ . Сокращаем в (6) этот общий множитель и учитываем  $\dot{s} = v$ ,  $\dot{x} = -v_C$  и (5):

$$-2\dot{r} = 2\dot{s} + 2\dot{x} - \dot{s} - \dot{x}.$$

$$-2\sqrt{3}v = v - v_C.$$

$$v_C = (2\sqrt{3} + 1)v.$$

$$\textbf{Ответ K1.} \quad 1). \quad v_C = v. \quad a_C = \frac{16\sqrt{3}v^2}{3l}. \quad 2). \quad v_C = (2\sqrt{3} + 1)v.$$

### Решение задачи K2.

*1 способ (геометрический).* Сначала рассмотрим случай, когда  $AB$  движется поступательно, т.е. в данный момент  $\omega = 0$ ,  $\epsilon = 0$ . Тогда векторы ускорений для всех точек  $AB$  одинаковы. Значит, одинаковы

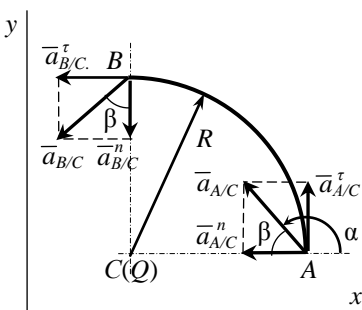


Рис. 10

и величины ускорений всех точек. При всех  $\alpha$  из заданного в условии промежутка  $0 \leq \alpha \leq 180^\circ$  получим:

$$a_{Bx} = a_{Ax} = a \cos \alpha,$$

$$a_{By} = a_{Ay} = a \sin \alpha.$$

Теперь рассмотрим случай, когда хотя бы одно из значений  $\omega$  или  $\varepsilon$  не равно нулю. Согласно известной теореме, в этом случае при движении плоской фигуры в своей плоскости в каждый момент времени имеется единственная точка, ускорение которой равно нулю. Это точка  $Q$  – мгновенный центр ускорений (МЦУ). Для любой точки  $M$  тела при этом выполняется:

$$a_M = MQ \sqrt{\varepsilon^2 + \omega^4}.$$

Из условия равенства величин ускорений всех точек  $AB$  следует, что расстояние  $MQ$  для любой точки тела принимает одно и то же значение. Такая ситуация реализуется, если МЦУ находится в центре  $C$  закругления  $AB$  (рис. 10). Тогда все расстояния  $MQ$  равны радиусу  $R$  закругления  $AB$ .

Получаем:  $\bar{a}_C = 0$ ,  $\bar{a}_A = \bar{a}_{A/C} = \bar{a}_{A/C}^\tau + \bar{a}_{A/C}^n$ . Так как вектор нормального ускорения  $\bar{a}_{A/C}^n$  направлен к точке  $C$  либо равен нулю (если  $\omega = 0$ ), то угол  $\beta = 180^\circ - \alpha$  между  $\bar{a}_A$  и  $\bar{a}_{A/C}^n$  не может превышать  $90^\circ$ . Это условие возможно при  $90^\circ \leq \alpha \leq 180^\circ$ . При этом:

$$\bar{a}_B = \bar{a}_{B/C} = \bar{a}_{B/C}^\tau + \bar{a}_{B/C}^n.$$

В силу  $a_{B/C}^\tau = a_{A/C}^\tau$ ,  $a_{B/C}^n = a_{A/C}^n$ , угол между векторами  $\bar{a}_B$  и  $\bar{a}_{B/C}^n$  тоже равен  $\beta$ .

$$a_{Bx} = -a \sin \beta = -a \sin \alpha, \quad a_{By} = -a \cos \beta = a \cos \alpha.$$

Приведенное рассуждение с использованием МЦУ позволяет строго обосновать отсутствие других решений задачи.

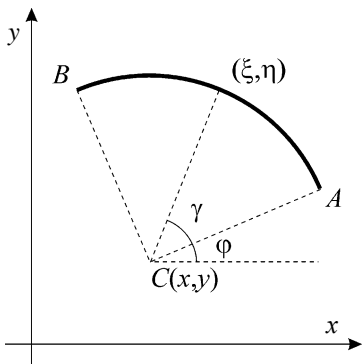


Рис. 11

2 способ (аналитический, предложен Р.Ф. Мардановым). Плоскопараллельное движение  $AB$  задается перемещением полюса  $C$  с координатами  $(x, y)$  и поворотом вокруг него, определяемым углом  $\varphi$ . Обозначим через  $(\xi, \eta)$  координаты точки  $AB$  с угловой координатой  $\gamma$  (рис. 11). Тогда

$$\begin{aligned}\xi &= x + R \cos(\varphi + \gamma), \\ \eta &= y + R \sin(\varphi + \gamma).\end{aligned}$$

Дифференцируя, получим:

$$\begin{aligned}\dot{\xi} &= \dot{x} - R \sin(\varphi + \gamma)\dot{\varphi}, \\ \dot{\eta} &= \dot{y} + R \cos(\varphi + \gamma)\dot{\varphi},\end{aligned}$$

$$\begin{aligned}\ddot{\xi} &= \ddot{x} - R \cos(\varphi + \gamma)\dot{\varphi}^2 - R \sin(\varphi + \gamma)\ddot{\varphi}, \\ \ddot{\eta} &= \ddot{y} - R \sin(\varphi + \gamma)\dot{\varphi}^2 + R \cos(\varphi + \gamma)\ddot{\varphi}.\end{aligned}$$

Или, учитя, что в расчетный момент времени  $\varphi = 0$ :

$$\begin{aligned}\ddot{\xi} &= \ddot{x} - R \cos \gamma \dot{\varphi}^2 - R \sin \gamma \ddot{\varphi}, \\ \ddot{\eta} &= \ddot{y} - R \sin \gamma \dot{\varphi}^2 + R \cos \gamma \ddot{\varphi}.\end{aligned}$$

Так как для любой точки  $AB$  по условию задачи модуль ускорения постоянен и равен  $a$ , то его квадрат по теореме Пифагора:

$$\begin{aligned}w^2 &= \ddot{\xi}^2 + \ddot{\eta}^2 = \ddot{x}^2 + \ddot{y}^2 + R^2 \dot{\varphi}^4 + R^2 \ddot{\varphi}^2 - 2\ddot{x}R(\cos \gamma \dot{\varphi}^2 + \sin \gamma \ddot{\varphi}) - \\ &- 2\ddot{y}R(\sin \gamma \dot{\varphi}^2 - \cos \gamma \ddot{\varphi}) = \ddot{x}^2 + \ddot{y}^2 + R^2 \dot{\varphi}^4 + R^2 \ddot{\varphi}^2 + \\ &+ 2R[\cos \gamma(\ddot{y}\ddot{\varphi} - \ddot{x}\dot{\varphi}^2) - \sin \gamma(\ddot{y}\dot{\varphi}^2 + \ddot{x}\ddot{\varphi})] = a^2.\end{aligned}$$

Для того чтобы последнее соотношение выполнялось для любой точки  $AB$  необходимо, чтобы  $w^2$  не зависело от  $\gamma$ . Для этого потребуем равенства нулю коэффициентов при  $\cos \gamma$  и  $\sin \gamma$ :

$$\begin{cases} \ddot{y}\ddot{\varphi} - \ddot{x}\dot{\varphi}^2 = 0, \\ \ddot{y}\dot{\varphi}^2 + \ddot{x}\ddot{\varphi} = 0, \end{cases} \Rightarrow \begin{cases} \ddot{y}(\dot{\varphi}^4 + \ddot{\varphi}^2) = 0, \\ \ddot{x}(\dot{\varphi}^4 + \ddot{\varphi}^2) = 0. \end{cases}$$

Удовлетворение последней системы уравнений возможно лишь в двух случаях: а)  $\ddot{x} = \ddot{y} = 0$  или б)  $\dot{\phi} = \ddot{\phi} = 0$ .

Так как для точки  $A$  угол  $\gamma = 0$ , то

$$\ddot{\xi}_A = \ddot{x} - R\dot{\phi}^2 = a \cos \alpha, \quad \ddot{\eta}_A = \ddot{y} + R\ddot{\phi} = a \sin \alpha. \quad (1)$$

Для точки  $B$  угол  $\gamma = \frac{\pi}{2}$ , тогда

$$\ddot{\xi}_B = \ddot{x} - R\ddot{\phi}, \quad \ddot{\eta}_B = \ddot{y} - R\dot{\phi}^2. \quad (2)$$

В случае а)  $\ddot{x} = \ddot{y} = 0$  точка  $C$  будет являться мгновенным центром ускорений. Из соотношений (1) запишем

$$R\dot{\phi}^2 = -a \cos \alpha, \quad R\ddot{\phi} = a \sin \alpha.$$

Так как  $R\dot{\phi}^2 > 0$ , то из последних формул следует, что этот случай возможен только для  $\frac{\pi}{2} < \alpha < \pi$ . Тогда в этом случае из (2) получим

$$\ddot{\xi}_B = -a \sin \alpha, \quad \ddot{\eta}_B = a \cos \alpha.$$

В случае б)  $\dot{\phi} = \ddot{\phi} = 0$  движение  $AB$  является поступательным. Из соотношения (1) имеем

$$\ddot{x} = a \cos \alpha, \quad \ddot{y} = a \sin \alpha.$$

Тогда в этом случае из (2) найдем

$$\ddot{\xi}_B = a \cos \alpha, \quad \ddot{\eta}_B = a \sin \alpha,$$

причем  $0 < \alpha < \pi$ .

**Ответ.** При  $0 \leq \alpha < 90^\circ$   $a_{Bx} = a \cos \alpha$ ,  $a_{By} = a \sin \alpha$ .

При  $90^\circ \leq \alpha \leq 180^\circ$   $a_{Bx} = a \cos \alpha$ ,  $a_{By} = a \sin \alpha$  либо  $a_{Bx} = -a \sin \alpha$ ,  $a_{By} = a \cos \alpha$ .

### Решение задачи Д1.

1). Дифференциальное уравнение движения материальной точки:

$$m \frac{dv_x}{dt} = (-t + 2) mg.$$

$$\int_0^{v_x} dv_x = g \int_0^t (-t + 2) dt .$$

$$v_x = g \left( -\frac{t^2}{2} + 2t \right) .$$

При  $v_x = 0$ ,  $t > 0$  получим:  $-\frac{t^2}{2} + 2t = 0$ , откуда  $t = 4$ .

2). При  $t = 0$ :  $Q_x(0) = kmg > 0$ . Значит, в этот момент точка не начнет смещаться влево.

**2.1.** Условие того, что точка сразу начнет смещаться вправо, преодолев силу трения  $F_{mp,max} = fmg = mg$ ,  $F_{mp,x} = -mg$ , имеет вид:  $a_x(0) > 0$ , т.е.  $Q_x(0) + F_{mp,x} > 0$ ,  $(k-1)mg > 0$ , откуда  $k > 1$ . Тогда движение вправо ( $v_x > 0$ ) вплоть до момента, когда  $v_x = 0$ , описывается ДУ:

$$m \frac{dv_x}{dt} = [(1-k)t + k] mg - mg .$$

$$\int_0^{v_x} dv_x = (1-k)g \int_0^t (t-1)dt .$$

$$v_x = (1-k)g \left( \frac{t^2}{2} - t \right) .$$

Значит  $v_x = 0$  в момент  $t = 2$ . При этом  $Q_x(2) = (2-k)mg$ . Так как  $k > 1$ , то  $Q_x(2) < mg$  и исключено немедленное возобновление движения вправо из-за невозможности преодоления  $F_{mp}$ .

Для немедленного начала движения влево ( $v_x < 0$ ) при  $t = 2$  должно быть:  $a_x(2) < 0$ ,  $Q_x(2) + F_{mp,x} < 0$ , т.е. с учетом  $F_{mp,x} = mg$ , должно быть:  $(2-k+1)mg < 0$ , откуда  $k > 3$ . При дальнейшем увеличении  $t$   $Q_x(t)$  уменьшается, значит, тем более будет  $Q_x(t) + F_{mp,x} < 0$ . Поэтому точка больше не остановится. Итак, при  $k > 3$   $v_x(t) = 0$  при  $t = 2$ .

**2.2.** В случае  $1 < k \leq 3$  после момента  $t = 2$  точка в течение какого-то промежутка времени окажется в состоянии покоя. При предельном равновесии точки, т.е. перед тем, как она начнет смещаться влево, в момент  $t = \tau$ :  $Q_x(\tau) + F_{mp,x} = 0$  при  $F_{mp,x} = mg$ . Отсюда

$$[(1-k)\tau + k] + 1 = 0, \text{ т.е. } \tau = \frac{k+1}{k-1}. \text{ (При } k=3 \text{ будет } \tau=2, \text{ точка выйдет из равновесия в момент } \tau+dt,$$

где  $dt$  – бесконечно малый промежуток времени. Временной отрезок, когда точка находится в покое, сведется к единственному моменту  $t = 2$ .) При дальнейшем увеличении  $t$  будет  $Q_x(t) + F_{mp,x} < 0$ , поэтому точка больше не остановится.

Итак, при  $1 < k \leq 3$   $v_x(t) = 0$  при  $2 \leq t \leq \frac{k+1}{k-1}$ .

**2.3.** В альтернативном случае, при  $0 < k \leq 1$  после момента  $t = 0$  точка какое-то время будет оставаться в покое. При этих  $k$   $Q_x(t) > 0$ , поэтому смещение влево исключено при любом  $t$ . При предельном равновесии точки, т.е. перед тем, как она начнет смещаться вправо, в момент  $t = T$ :  $Q_x(T) + F_{mp,x} = 0$  при  $F_{mp,x} = -mg$ . Отсюда

$[(1-k)T + k] - 1 = 0$ , т.е.  $T = \frac{1-k}{1-k} = 1$ , если  $k \neq 1$ ! При дальнейшем увеличении  $t$  будет  $Q_x(t) > mg$ , т.е.  $Q_x(t) + F_{mp,x} > 0$ , поэтому точка больше не остановится. Итак, при  $0 < k < 1$   $v_x(t) = 0$  при  $0 < t \leq 1$ .

**2.4.** Если  $k = 1$ , сила  $Q_x = mg$  не сможет преодолеть  $F_{mp} = mg$ , и  $v_x(t) = 0$  при всех  $t > 0$ .

**Ответ.** 1).  $t = 4$ . 2). При  $0 < k < 1$ :  $0 < t \leq 1$ . При  $k = 1$ :  $t > 0$ .

При  $1 < k \leq 3$ :  $2 \leq t \leq \frac{k+1}{k-1}$ . При  $k > 3$ :  $t = 2$ .

### Решение задачи Д2.

1). Диск с прикрепленной точкой  $M$  образуют единое твердое тело с моментом инерции относительно оси вращения  $Oz$ , равным

$$J_z = mR^2. \quad (1)$$

Дифференциальное уравнение вращения твердого тела вокруг неподвижной оси (рис. 12):

$$J_z \varepsilon_z = -GR \sin \alpha,$$

где  $\varepsilon_z = -$  алгебраическое угловое ускорение (с

учетом знака). Из (1), (2) получаем:

$$\varepsilon = |\varepsilon_z| = \frac{g \sin \alpha}{R}.$$

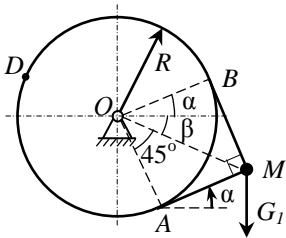


Рис. 12

2). Сначала решим задачу при условии, что обе нити остаются натянутыми в начале движения. В рамках этого условия систему можно рассматривать как единое твердое тело. С учетом  $OM = \sqrt{2}R$  его момент инерции относительно  $Oz$  (рис.13):

$$J_{12,z} = m_1 \cdot (\sqrt{2}R)^2 + \frac{m_2 R^2}{2} = \left(2m_1 + \frac{m_2}{2}\right)R^2.$$

Дифференциальное уравнение вращения твердого тела вокруг неподвижной оси  $Oz$ :

$$J_{12,z} \varepsilon_z = -G_1 \cdot OM \cos \beta,$$

где  $\beta = 90^\circ - \alpha - 45^\circ = 45^\circ - \alpha$ .

$$\left(2m_1 + \frac{m_2}{2}\right)R^2 \varepsilon_z = -m_1 g \cdot \sqrt{2}R \cos(45^\circ - \alpha).$$

С учетом

$$\cos(45^\circ - \alpha) = \frac{\sqrt{2}}{2} \cos \alpha + \frac{\sqrt{2}}{2} \sin \alpha$$

получим:

$$\varepsilon = |\varepsilon_z| = \frac{2m_1 g (\sin \alpha + \cos \alpha)}{(4m_1 + m_2) R}. \quad (3)$$

Очевидно, что, так как при заданном условии  $0 \leq \alpha < 90^\circ$  точка  $M$  находится ниже  $B$ , участок  $BM$  нити будет натянут независимо от соотношения между  $\alpha$ ,  $m_1$ ,  $m_2$  (подробнее см. замечание 2).

Условием натянутости нижней нити является  $S_1 > 0$ , где  $\bar{S}_1$  – сила натяжения для  $AM$  (рис. 14). При этом точка  $M$  начинает движение по

окружности с центром в точке  $O$ , поэтому  $\bar{a}_M \perp OM$  (рис. 14),

$$a_M = OM \cdot \varepsilon = \sqrt{2} R \varepsilon. \quad (4)$$

Запишем второй закон динамики для точки  $M$  в проекции на ось  $x$ , перпендикулярную участку нити  $BM$  (чтобы обнулить проекцию его силы натяжения  $\bar{S}_2$ ):

$$m_1 a_M \cos 45^\circ = S_1 + G_1 \sin \alpha. \quad (5)$$

С учетом (4) и (3) получим из (5):

$$\begin{aligned} S_1 &= m_1 \cdot \sqrt{2} R \frac{2m_1 g (\sin \alpha + \cos \alpha)}{(4m_1 + m_2) R} \cdot \frac{1}{\sqrt{2}} - m_1 g \sin \alpha = \\ &= m_1 g \left( \frac{2m_1 (\sin \alpha + \cos \alpha)}{4m_1 + m_2} - \sin \alpha \right), \end{aligned}$$

Из условия  $S_1 > 0$ :

$$2m_1 (\sin \alpha + \cos \alpha) - (4m_1 + m_2) \sin \alpha > 0.$$

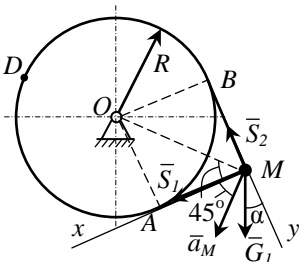


Рис. 14

$$2m_1 \cos \alpha > (2m_1 + m_2) \sin \alpha .$$

$$\operatorname{tg} \alpha < \frac{2m_1}{2m_1 + m_2}. \quad (6)$$

При невыполнении (6), т.е. в случае  $\operatorname{tg} \alpha \geq \frac{2m_1}{2m_1 + m_2}$ , участок нити  $AM$  не натянут (начинает провисать). При этом точка  $M$  имеет две степени свободы: при движении вдоль  $x$  и вдоль  $y$  (рис. 15).

$$\bar{a}_M = \bar{a}_x + \bar{a}_y .$$

Одна из степеней свободы связана с движением  $M$  вдоль линии нити  $BM$  с ускорением  $a_y$ . При этом очевидно, что  $a_y = R\varepsilon$ . (Другая степень свободы связана с движением  $M$  в направлении оси  $x$ , перпендикулярной нити, при повороте участка  $BM$  и не связана с угловым ускорением диска.)

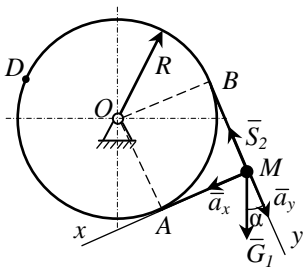


Рис. 15

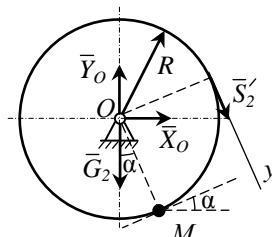


Рис. 16

Запишем второй закон динамики в проекции на  $y$ :

$$m_1 a_y = G_1 \cos \alpha - S_2 .$$

С учетом  $a_y = R\varepsilon$  получим:

$$m_1 R \varepsilon = m_1 g \cos \alpha - S_2 . \quad (7)$$

Дифференциальное уравнение вращения отдельно рассматриваемо-

го диска вокруг оси  $Oz$  (рис.16):

$$\frac{m_2 R^2}{2} \varepsilon_z = -S'_2 R .$$

С учетом  $\varepsilon_z = -\varepsilon$  получим:

$$S_2 = \frac{m_2 R}{2} \varepsilon . \quad (8)$$

Подставим (8) в (7):

$$\begin{aligned} m_1 R \varepsilon &= m_1 g \cos \alpha - \frac{m_2 R}{2} \varepsilon . \\ (2m_1 + m_2) R \varepsilon &= 2m_1 g \cos \alpha . \\ \varepsilon &= \frac{2m_1 g \cos \alpha}{(2m_1 + m_2) R} . \end{aligned} \quad (9)$$

*Замечание 1.* Проверим, что в пограничном случае при

$$\operatorname{tg} \alpha = \frac{2m_1}{2m_1 + m_2} \quad (10)$$

выражения (3) и (9) совпадают. Из (10) следует

$$\sin \alpha = \frac{2m_1}{2m_1 + m_2} \cos \alpha . \quad (11)$$

Подстановка (11) в выражение (3) дает:

$$\frac{2m_1 g \left( \frac{2m_1}{2m_1 + m_2} + 1 \right) \cos \alpha}{(4m_1 + m_2) R} = \frac{2m_1 g \cdot \frac{4m_1 + m_2}{2m_1 + m_2} \cos \alpha}{(4m_1 + m_2) R} = \frac{2m_1 g \cos \alpha}{(2m_1 + m_2) R} ,$$

что совпадает с выражением (9).

*Замечание 2.* Дадим обоснование того, что  $S_2 > 0$ .

Предположим противное: пусть при некоторых значениях  $\alpha$ ,  $m_1$ ,  $m_2$  будет  $S_2 = 0$ . Тогда диск либо находится в покое, либо за счет натяжения нити  $AM$  вращается против часовой стрелки. Тогда для

точки  $M$  получаем  $a_y \leq 0$ .

С другой стороны, независимо от того, натянута ли нить  $AM$ , по второму закону динамики в проекции на ось  $y$ :  $m_1 a_y = G_1 \cos \alpha - S_2$ .

Отсюда в силу следующего из условия задачи неравенства  $\cos \alpha > 0$  получаем  $a_y > 0$ .

Пришли к противоречию. Значит,  $S_2 > 0$ .

$$\text{Ответ.} \quad 1). \quad \varepsilon = \frac{g \sin \alpha}{R}.$$

$$2). \text{ При } \operatorname{tg} \alpha < \frac{2m_1}{2m_1 + m_2} \quad \varepsilon = \frac{2m_1 g (\sin \alpha + \cos \alpha)}{(4m_1 + m_2) R}.$$

$$\text{При } \operatorname{tg} \alpha \geq \frac{2m_1}{2m_1 + m_2} \quad \varepsilon = \frac{2m_1 g \cos \alpha}{(2m_1 + m_2) R}.$$

### *Решение задачи Д3.*

Предположим, что колесо 1 катится вниз, а колесо 2 вверх (рис.17). (Если это так, то сумма работ внешних сил должна получиться положительной, в противном же случае отрицательной.) Так как нить нерастяжима, то  $v_A = v_B = v$ . Мгновенные центры скоростей колес 1 и 2 при их плоскопараллельных движениях находятся в точках  $P_1$  и  $P_2$ , соответственно.

$$\begin{aligned} \frac{v_A}{v_1} &= \frac{AP_1}{C_1 P_1} = \frac{3r}{2r}. \\ v_1 &= \frac{2}{3} v. \\ \omega_2 &= \frac{v_B}{BP_1} = \frac{v}{3r}. \end{aligned} \tag{1}$$

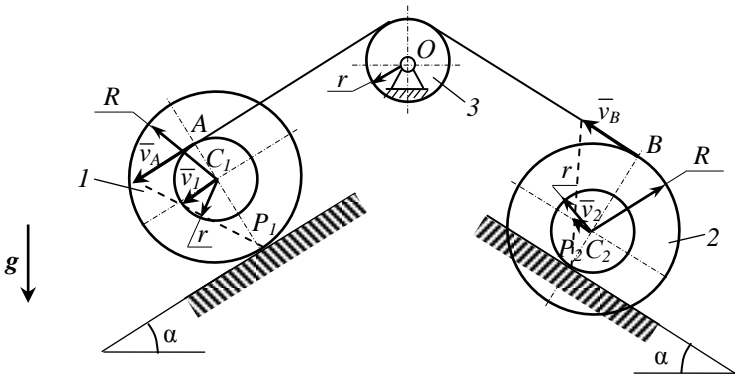


Рис. 17

С учетом этого и, например, теоремы Гюйгенса-Штейнера найдем кинетическую энергию колеса 1:

$$J_{P_1z} = mr^2 + m(2r)^2 = 5mr^2.$$

$$T_1 = \frac{1}{2} J_{P_1z} \omega_1^2 = \frac{5}{18} mv^2. \quad (2)$$

Такой же результат можно получить при использовании формулы  $T = \frac{1}{2} mv_c^2 + \frac{1}{2} J_{Cz} \omega^2$ .

Аналогично для колеса 2:

$$\begin{aligned} \frac{v_B}{v_2} &= \frac{BP_2}{C_2P_2} = \frac{3r}{r}, \\ v_2 &= \frac{1}{3}v. \end{aligned} \quad (3)$$

$$\omega_2 = \frac{v_B}{BP_1} = \frac{v}{3r}.$$

$$J_{P_2z} = mr^2 + mr^2 = 2mr^2.$$

$$T_2 = \frac{1}{2} J_{P_2z} \omega_2^2 = \frac{1}{9} mv^2. \quad (4)$$

Кинетическая энергия системы:

$$T = T_1 + T_2 = \frac{1}{2} J_{P_z} \omega_1^2 = \frac{7}{18} mv^2. \quad (5)$$

Интегрируем по времени (1) и (3) при нулевых начальных условиях, получим соотношения для соответствующих перемещений:

$$\begin{aligned} s_1 &= \frac{2}{3}s, \quad s_2 = \frac{1}{3}s. \\ \sum_k A_k^e &= A_{G_1} + A_{G_2} = mgs_1 \sin \alpha - mgs_2 \sin \alpha = \\ &= mg \left( \frac{2}{3}s - \frac{1}{3}s \right) \sin \alpha = \frac{1}{3}mgs \sin \alpha. \end{aligned} \quad (6)$$

По теореме об изменении кинетической энергии механической системы с учетом (5) и (6):

$$T - T_0 = \sum_k A_k^e.$$

$$\frac{7}{18}mv^2 = \frac{1}{3}mgs \sin \alpha.$$

С учетом  $v = r\omega$ ,  $s = r\varphi$  получим:

$$\omega_3^2 = \frac{6g \sin \alpha}{7r} \varphi_3. \quad (7)$$

$$\omega_3 = \sqrt{\frac{6g \sin \alpha}{7r}} \varphi_3.$$

Дифференцируем (7) по времени:

$$2\omega_3 \varepsilon_3 = \frac{6g \sin \alpha}{7r} \omega_3.$$

Сокращая  $\omega_3$ , находим  $\varepsilon_3$ :

$$\varepsilon_3 = \frac{3g \sin \alpha}{7r}.$$

$$\text{Ответ. } \omega_3 = \sqrt{\frac{6g \sin \alpha}{7r}} \varphi_3. \quad \varepsilon_3 = \frac{3g \sin \alpha}{7r}.$$

### Решение задачи Д4.

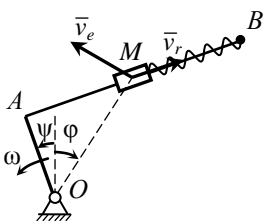


Рис. 18

Рассмотрим движение точки  $M$  как сложное: переносное движение – вращение вместе со стержнем, относительное движение – движение вдоль стержня (рис. 18).

$$\bar{v}_M = \bar{v}_e + \bar{v}_r.$$

Обозначим через  $\psi$  угол поворота  $OAB$ .

Его угловая скорость:  $\omega = \frac{d\psi}{dt}$ . Закон сохранения кинетического момента:

$$K_{z,1} = K_{z,0}. \quad (1)$$

Здесь

$$K_{z,0} = 0,$$

$$K_{z,1} = J_z \omega + m_2 v_e \cdot OM - m_2 v_r \cdot OA. \quad (2)$$

Момент инерции стержня  $J_z = \frac{m_1 l^2}{3}$ ,  $OM^2 = l^2 + s_r^2$ , где  $s_r = AM$ .

Переносная и относительная скорости точки  $M$  равны:  $v_e = OM \cdot \omega$ ,  $v_r = \frac{ds_r}{dt}$ . Из (1), (2) получаем с учетом того, что в начальный и конечный моменты  $AM_0 = 0$  и  $AM_1 = 2l$ , соответственно:

$$(J_z + m_2(l^2 + s_r^2)) \frac{d\psi}{dt} = m_2 \frac{ds_r}{dt} l.$$

$$\int_0^{\psi_1} d\psi = m_2 l \int_0^{2l} \frac{ds_r}{(J_z + m_2 l^2) + m_2 s_r^2}.$$

$$\psi_1 = \sqrt{\frac{J_z + m_2 l^2}{m_2}} \arctg \frac{2l}{\sqrt{\frac{J_z + m_2 l^2}{m_2}}}.$$

Обозначим для удобства:  $k = \sqrt{\frac{m_2 l^2}{J_z + m_2 l^2}} = \sqrt{\frac{3m_2}{m_1 + 3m_2}}$ . Тогда

$$\psi_1 = k \operatorname{arctg} 2k .$$

Из геометрических соображений для конечного положения:

$$\operatorname{tg}(\psi_1 + \varphi_1) = \frac{AM_1}{OA} = \frac{2l}{l} = 2 .$$

$$\psi_1 + \varphi_1 = \operatorname{arctg} 2 .$$

$$\varphi_1 = \operatorname{arctg} 2 - \psi_1 = \operatorname{arctg} 2 - k \operatorname{arctg} 2k .$$

Заметим, что так как  $k < 1$ , то  $\varphi_1 > 0$ .

**Ответ.**  $\varphi = \operatorname{arctg} 2 - k \operatorname{arctg} 2k$ , где  $k = \sqrt{\frac{3m_2}{m_1 + 3m_2}}$ .